

Chapitre VI

Connexions et fonctions numériques

Concepts :

- > **Extension aux fonctions**
- > **Opérateurs connexes**
- > **Géodésie numérique**
- > **Nivellements et auto-dualité**

Applications :

- > **Etude des extrema**
- > **Préservation des contours**
- > **Filtres forts**
- > **Segmentation**

Passage au Numérique

Trois passages du binaire au numérique sont à envisager.

- *La géodésie*

C'est le plus simple. Dilatation et érosion étant croissantes, il suffit de définir les opérations numériques via leurs correspondantes binaires, appliquées seuil par seuil.

- *Les applications*

Ce ne sont plus les mêmes qu'en binaire. Priorité est donnée ici au traitement des *extrema* et à la *préservation des contours*.

- *La connexité*

La tâche est plus difficile. Il faut :

- soit généraliser le concept de connexion aux treillis complets, et trouver des *connexions adaptées* aux fonctions numériques

- soit partir des fonctions pour induire des connexions *ensemblistes* sur leurs supports. On ne présentera ici que ce second point de vue, plus simple, mais moins puissant.

Treillis de Fonctions (*rappel*)

- E étant un ensemble arbitraire, et T désignant \mathbf{R} , \mathbf{Z} ou une de leurs parties fermées, les fonctions $f : E \rightarrow T$ forment à leur tour un **treillis**, noté T^E , pour **l'ordre produit** :

$$f \leq g \quad \text{ssi} \quad f(x) \leq g(x) \quad \text{pour tous } x \in E,$$

et où le sup et l'inf dérivent des sup et inf numériques, *i.e.*

$$\left(\bigvee_i f_i \right)(x) = \bigvee_i f_i(x) \quad \left(\bigwedge_i f_i \right)(x) = \bigwedge_i f_i(x).$$

On convient de noter 0 à la fois le minimum dans T et dans T^E

- Dans T^E , les fonctions **impulsions** :

$$\mathbf{k}_{x,t}(y) = t \quad \text{si } x = y \quad ; \quad \mathbf{k}_{x,t}(y) = 0 \quad \text{si } x \neq y$$

sont **sup-génératrices** *i.e.* tout $f : E \rightarrow T$ est un supremum d'impulsions.

- La démarche précédente s'étend directement aux produits de treillis de type T, c'est à dire aux **fonctions multivariées** (*e.g.* couleur).

Treillis des partitions (*rappel*)

Définition : On appelle **Partition** d'un espace E toute application $D: E \rightarrow \sigma(E)$ telle que

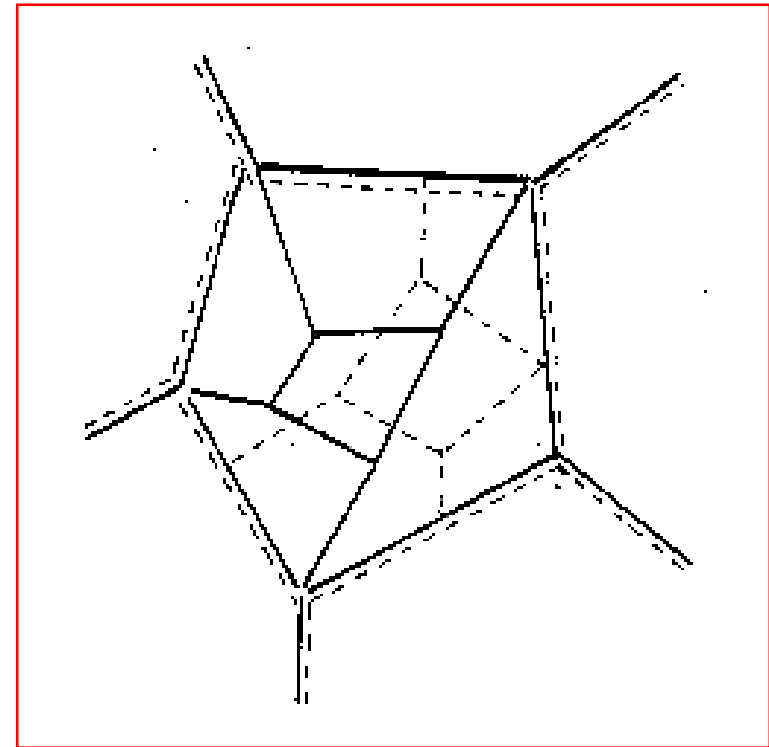
$$(i) \quad \forall x \in E, \quad x \in D(x)$$

$$(ii) \quad \forall (x, y) \in E,$$

$$\text{soit} \quad D(x) = D(y)$$

$$\text{soit} \quad D(x) \cap D(y) = \emptyset$$

- Les partitions de E forment un **treillis** γ pour l'ordre selon lequel $D \leq D'$ quand chaque classe de D est incluse dans une classe de D' . Le plus grand élément de γ est E lui-même, et le plus petit celui qui pulvérise E en la totalité de ses points.



*Le **sup** des deux types de cellules est le pentagone où leurs frontières coïncident.*

*Leur **inf**, plus simple, s'obtient par intersection des cellules.*

Connexions induites par des fonctions

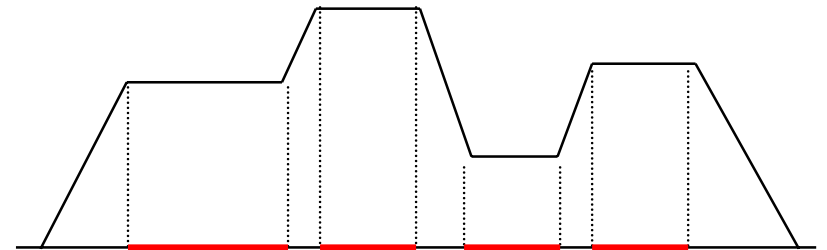
But : Soit ϕ une connexion sur $\sigma(E)$ et $f : E \rightarrow T$. Nous voulons construire un critère régional σ sur f tel que :

- (i) $\forall x \in E$, $f(x)$ vérifie σ ;
- (ii) $\forall A, B \in \phi$, avec $A \cap B \neq \emptyset$, si f vérifie σ sur A et sur B , alors f vérifie σ sur $A \sim B$.

Résultat : Une telle propriété génère une sous-classe ϕ_σ de ϕ qui est une seconde connexion sur $\sigma(E)$.

En particulier, ϕ_σ *partitionne* l'espace E en classes maximales vérifiant le critère σ .

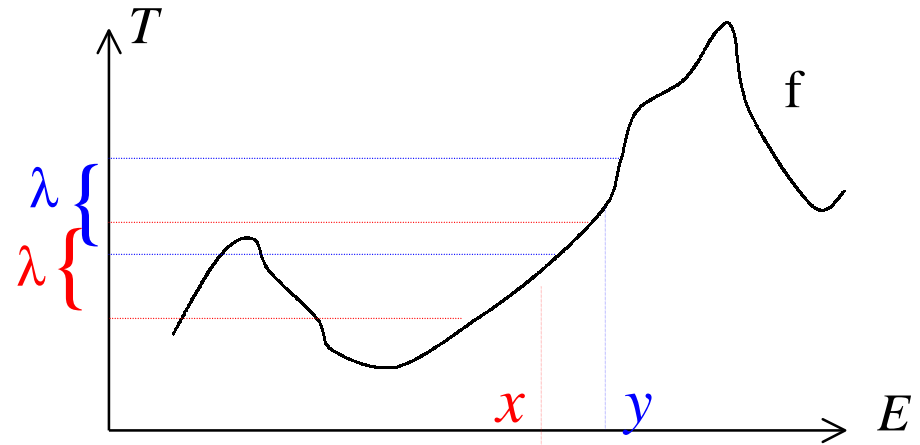
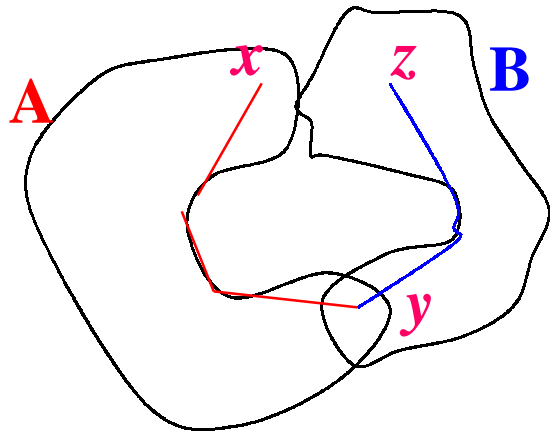
Exemple : Les zones où f est constante.



Les composantes connexes de $\sigma(R^1)$ accordées ϕ_σ sont soit

- les segments en rouge;
- ou, ailleurs, les points .

Connexion lisse



Connexion lisse : $E = \mathbb{R}^n$, muni de la **connexité par arcs**, et la fonction $f : E \rightarrow T$ est fixée. la classe $\phi \in \sigma(\mathbb{R}^n)$ composée

i) des singletons, plus de l'ensemble vide ;

ii) de tous les ouverts $Y \in \sigma(\mathbb{R}^n)$ tels que f est k -Lipschitz le long de tous les chemins inclus dans Y ,

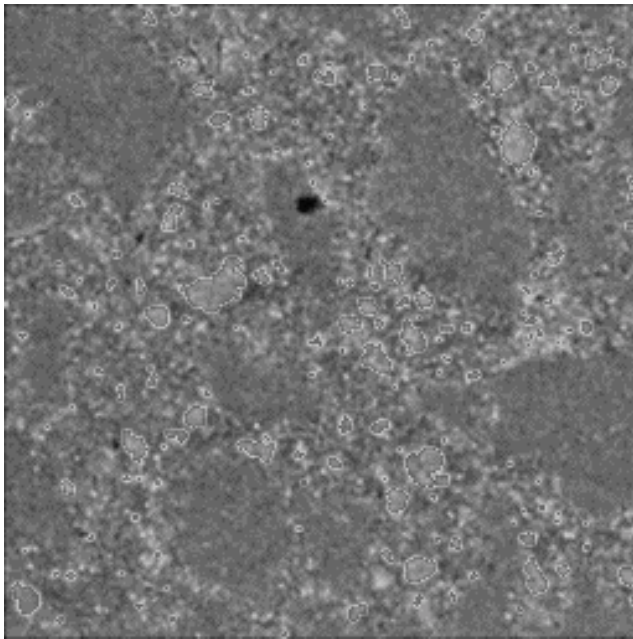
constitue une seconde connexion sur $\sigma(\mathbb{R}^n)$, appelée **“connexion lisse”**.

Implémentation : Soit $H(x)$ est le **cercle** unité de \mathbb{Z}^2 au point x . La partition associée à ϕ admet pour classes non ponctuelles les composantes connexes de

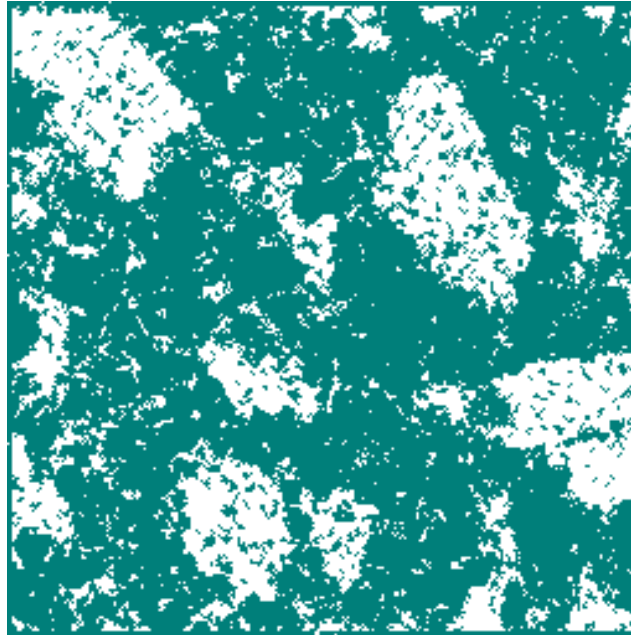
$$X = \{ x \in E ; \sup\{ |f(x) - f(y)|, y \in H(x) \} \leq k \}$$

Exemple de connexion lisse (I)

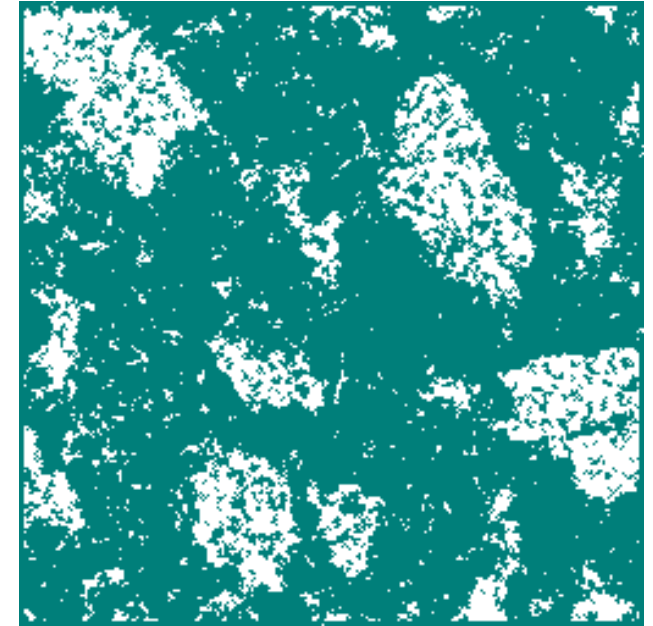
Commentaire : Les deux phases de la micrographie ne peuvent pas être séparées par seuillage. Les connexions lisses les classent selon leur rugosité.



*a) Image initiale:
micrographie
électronique de roche*



*b) connexion lisse de
paramètre 7*



*c) connexion lisse de
paramètre 6*

*(- en sombre, les composantes connexes ponctuelles
- en blanc, chaque particule est base d'un cylindre)*

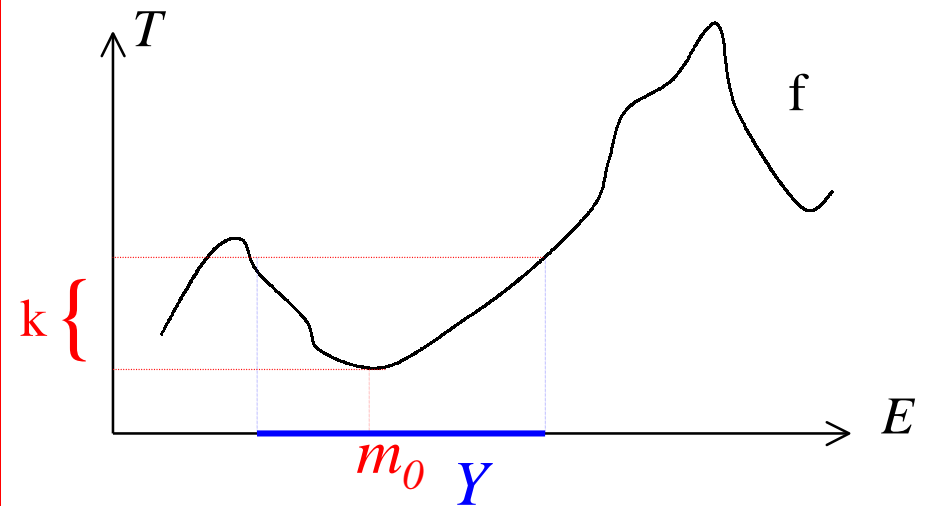
Connexion par sauts

Connexion par sauts : $E = \mathbb{R}^n$, muni de la **connexité par arcs**, et la fonction $f : E \rightarrow T$ est fixée. La classe $\phi \in \sigma(\mathbb{R}^n)$ composée :

- i) des singletons, plus de l'ensemble vide ;
- ii) de tous les ensembles connexes contenant un minimum, et où les valeurs de f sont à moins de k au dessus du minimum ;

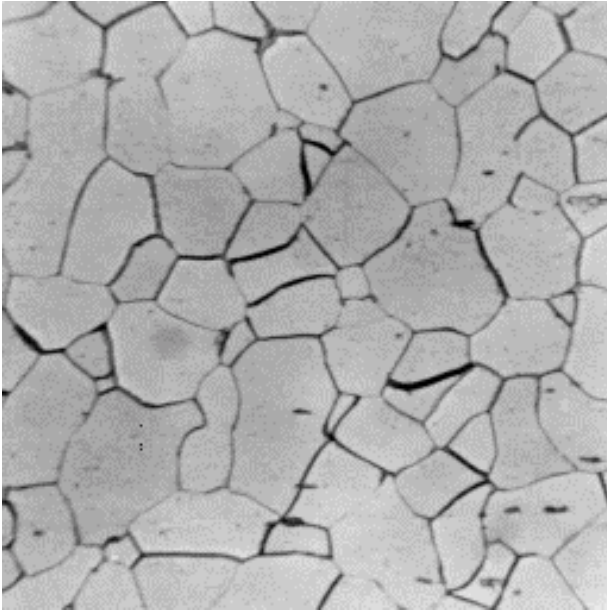
constitue une seconde connexion sur $\sigma(\mathbb{R}^n)$, appelée "**connexion par sauts à partir des minima**".

De la même manière, on peut partir des *maxima*, ou prendre l'intersection des deux connexions .

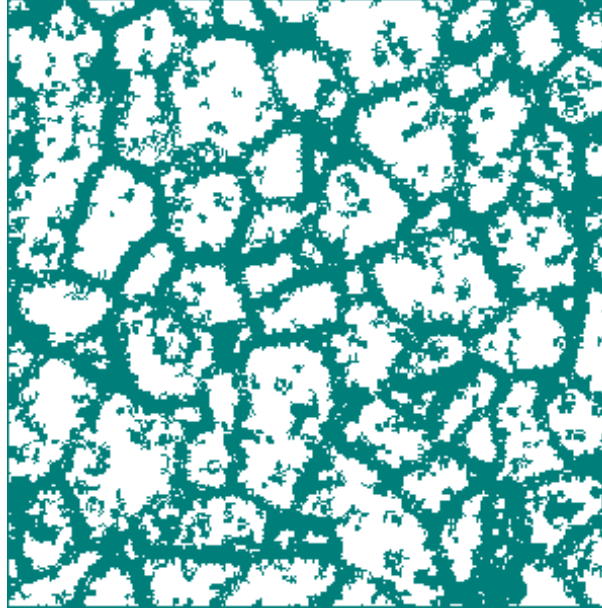


Composante connexe dans la connexion par sauts de valeur k à partir des minima .

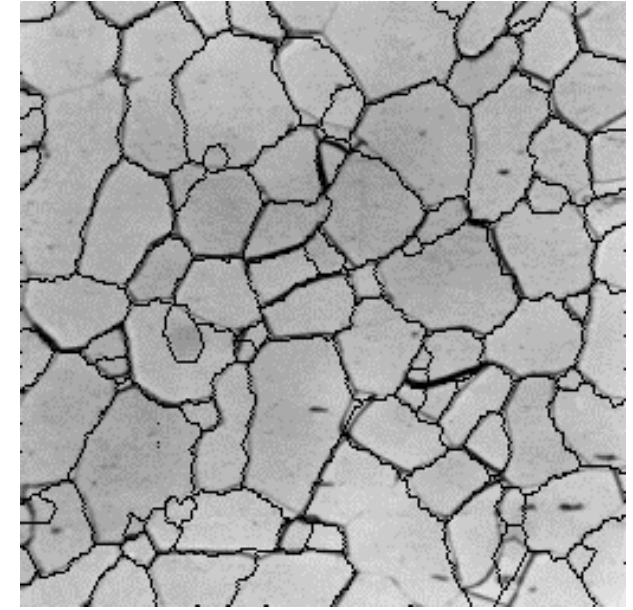
Exemple de connexion par sauts



*a) Image initiale :
section polie de
grains d'alumine*



*b) connexion par sauts
d'amplitude 12:
- en sombre, ensemble
des composantes
connexes ponctuelles
- en blanc, bases
(connexes) des cylindres*



*c) Skiz de la réunion
des points sombres
de l' image b)*

Opérateurs connexes

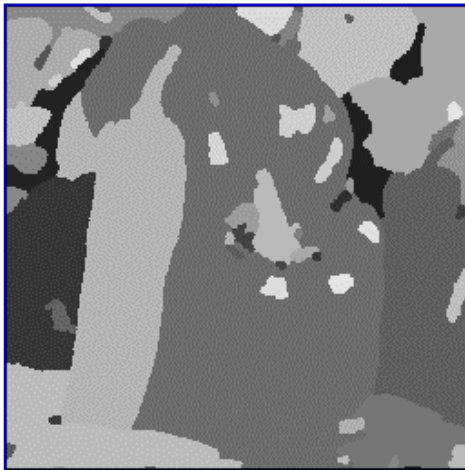
Définition :

- Un opérateur $\psi : T^E \Delta T^E$ sur les fonctions numériques est dit **connexe** (pour un critère σ) quand la partition de E par $\psi(f)$ est plus grande que celle de E par f .

a)



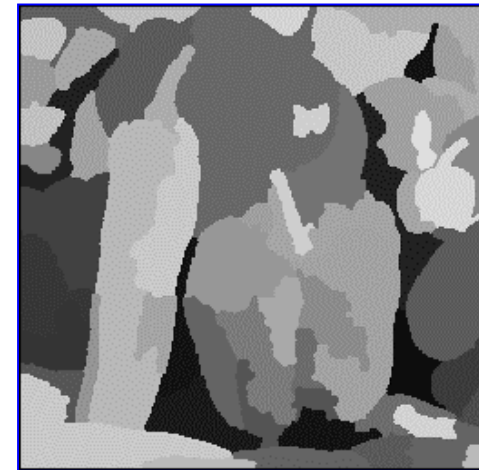
b)



c)



d)



Trois images mosaïques, dues à C. Vachier, obtenues par fusion des régions de la LPE du gradient de **a)**:

b) par dynamique ; **c) selon les aires** ; **d) par volumes** .

Opérateurs connexes, planaires, et croissants

- A partir d'ici, nous considérons uniquement
 - i*) les critères portant sur les **zones plates** des fonctions ;
 - ii*) les opérateurs $\psi : T^E \Delta T^E$ qui sont **planaires** et **croissants** .

Propriétés de base :

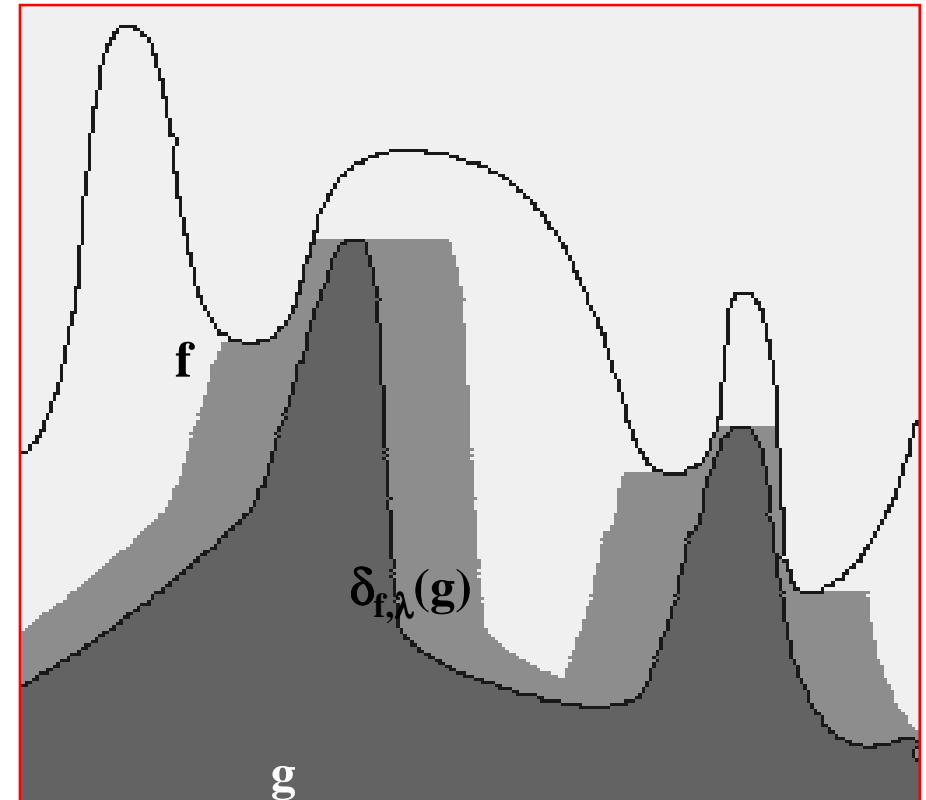
- Tout opérateur connexe **binaire** (resp. et croissant) induit sur T^E , via les section planes, un **unique** opérateur connexe (resp. et croissant) (*H. Heijmans*) ;
- En particulier, les démarches géodesiques s'étendent au cas numérique ;
- Leurs éventuelles propriétés d'être des filtres forts, de constituer des semi-groupes, etc.. sont transmises aux opérateurs connexes induits sur T^E .

On remarquera qu'une opération peut être anti-extensive sur T^E , et extensive sur le treillis γ des partitions (les ouvertures par reconstruction, *par ex.*).

Dilatations Géodésiques Numériques (I)

Soient f, g deux fonctions numériques de \mathbb{R}^d dans \mathbb{R} , telles que $g \leq f$.

- La dilatation géodésique binaire de taille λ appliquée seuil par seuil aux sections de f marquées par celles de g induit sur f une dilatation $\delta_{f,\lambda}(g)$ (*S.Beucher*).
- En d'autres termes (*L.Vincent*), le sous-graphe de $\delta_{f,\lambda}(g)$ est formé des points du sous-graphe de f reliés au sous-graphe de g par un chemin:
 - non descendant;
 - de longueur $\leq \lambda$.



*dilatation géodésique numérique
de g relativement à f*

Dilatations Géodésiques Numériques (II)

- La version digitale part de la dilatation géodésique de taille unité

$$\delta_f(\mathbf{g}) = \inf(\mathbf{g} + \mathbf{B}, \mathbf{f})$$

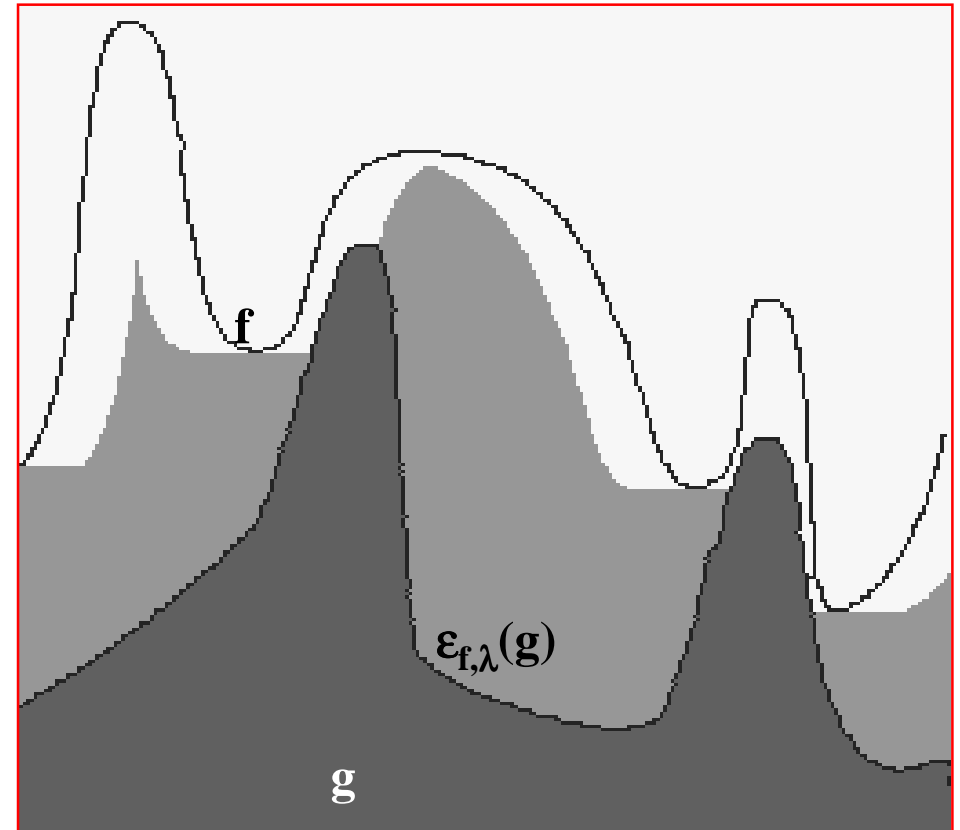
que l'on itère n fois pour obtenir la taille n

$$\delta_{f, n}(\mathbf{g}) = \delta_f^{(n)}(\mathbf{g}) = \delta_f(\delta_f \dots (\delta_f(\mathbf{g}))).$$

- Les érosions euclidienne et digitale se déduisent des dilatations correspondantes par la dualité

$$\varepsilon_f(\mathbf{g}) = \mathbf{m} - \delta_f(\mathbf{m} - \mathbf{g}),$$

différente du cas géodésique binaire.



*érosion géodésique numérique
de f relativement à g*

Reconstruction Numérique

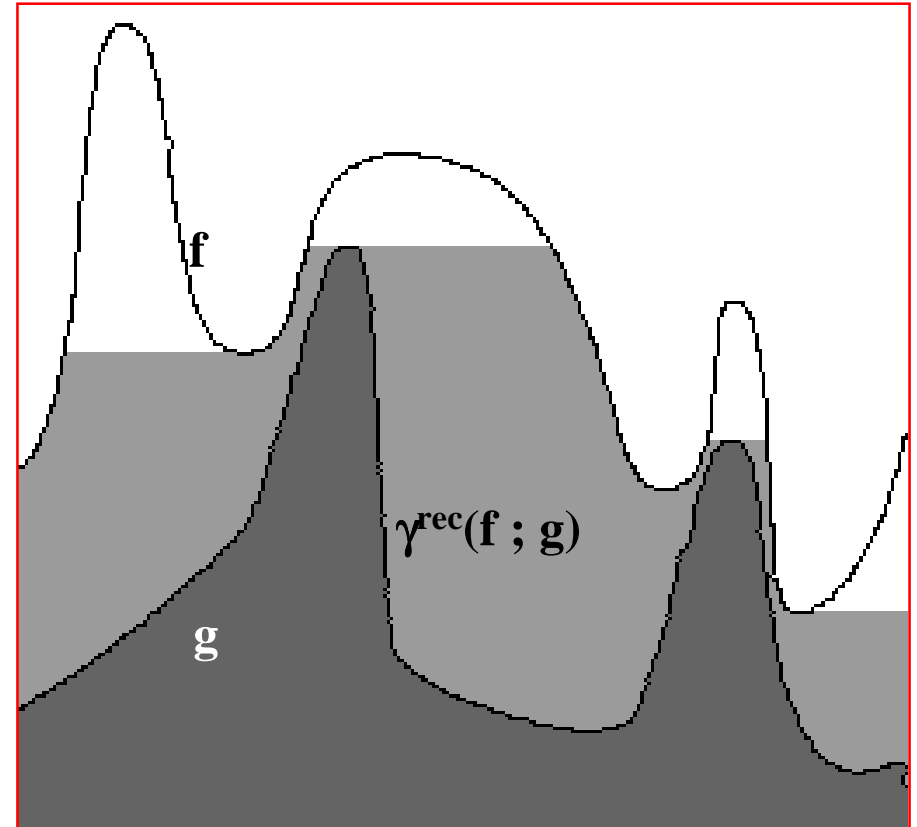
- L'ouverture de f par reconstruction selon g , est le supremum des dilatation géodésiques de g dans f , considéré comme fonction de f :

$$\gamma^{\text{rec}}(f; g) = \{ \delta_{f,\lambda}(g), \lambda > 0 \}$$

avec pour fermeture duale *pour le négatif*

$$\phi^{\text{rec}}(f; g) = m - \gamma^{\text{rec}}(m-f; m-g)$$

- Trois exemples sont très utiles:
 - *L'érosion-reconstruction;*
 - *Le swamping, reconstruction d'une fonction marquée par ses maxima;*
 - *L'ouverture par contraste, qui mène à l'extraction des maxima.*



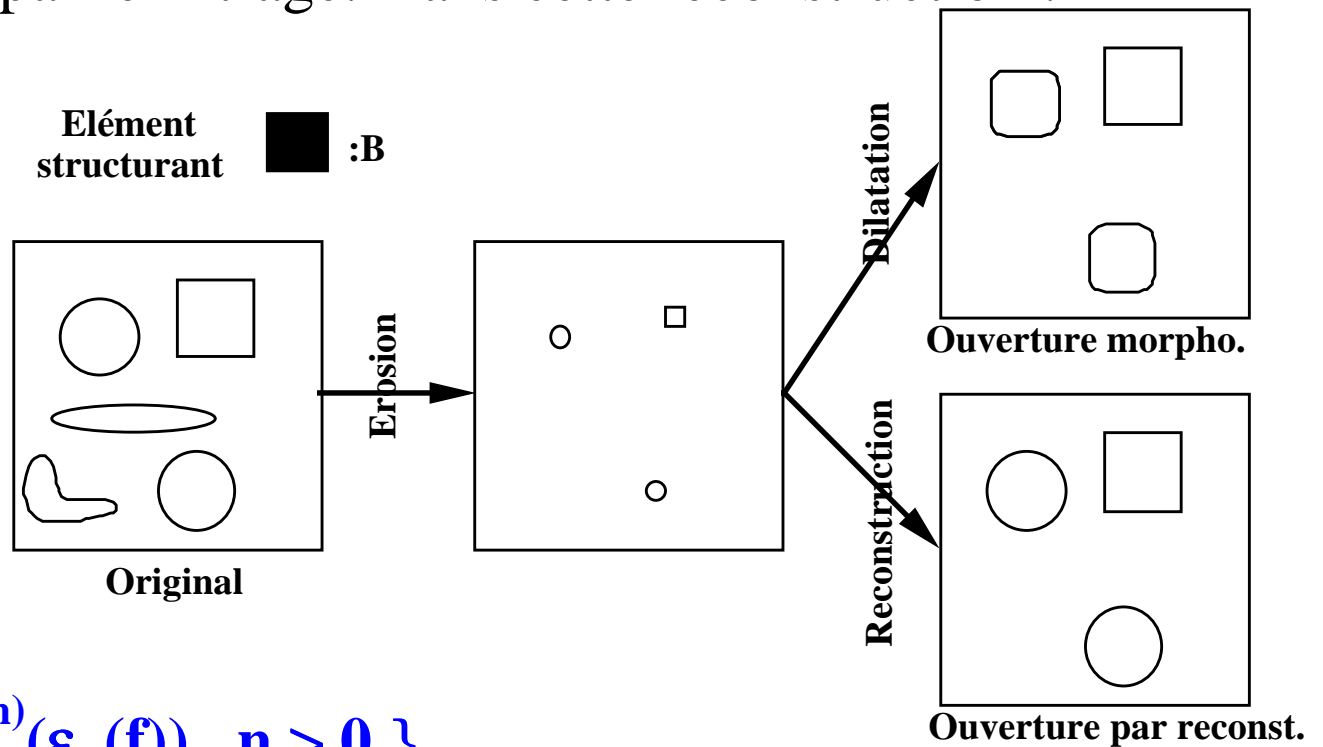
*Reconstruction numérique
de g dans f*

Erosion-Reconstruction

Objectif : Préservation des contours

Alors que l'ouverture par érosion-dilatation modifie les contours des éléments, l'ouverture par reconstruction les restitue sans changement s'ils n'ont pas été éliminés par le filtrage. Dans cette reconstruction :

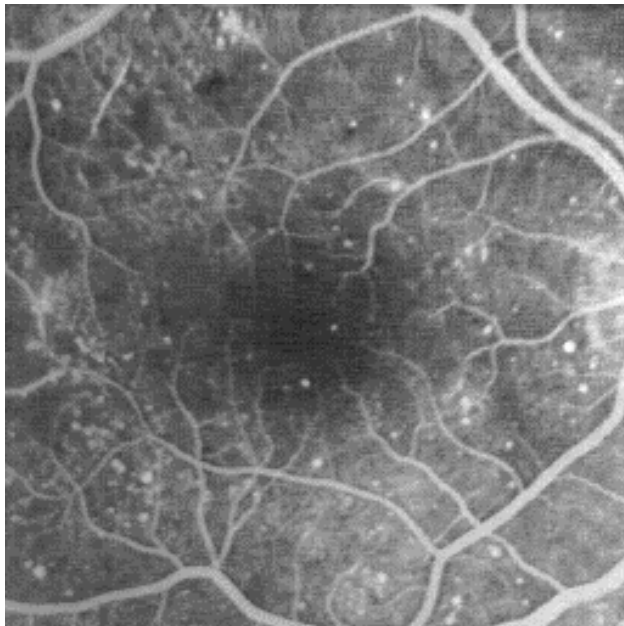
- la référence est le **signal original**,
- le marqueur est un **érodé** de la référence:



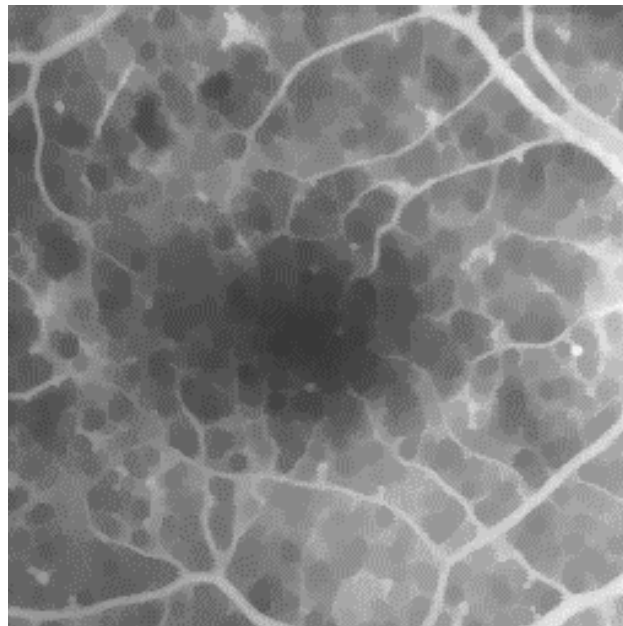
$$\gamma^{\text{rec}}(f; \epsilon_B(f)) = \{ \delta_f^{(n)}(\epsilon_B(f)), n > 0 \}$$

Application à l'examen du fond de l'oeil

Commentaire: *Le but est d'extraire et de localiser les anévrismes. Les opérateurs par reconstruction garantissent qu'on retire exclusivement les pics petits et isolés (étude de F. Zana et J.C. Klein)*



a) Image initiale



*b) fermeture par
dilatation-reconstruction
suivie d'ouverture par
érosion- reconstruction*



*c) différence a) moins b)
suivie d'un seuillage*

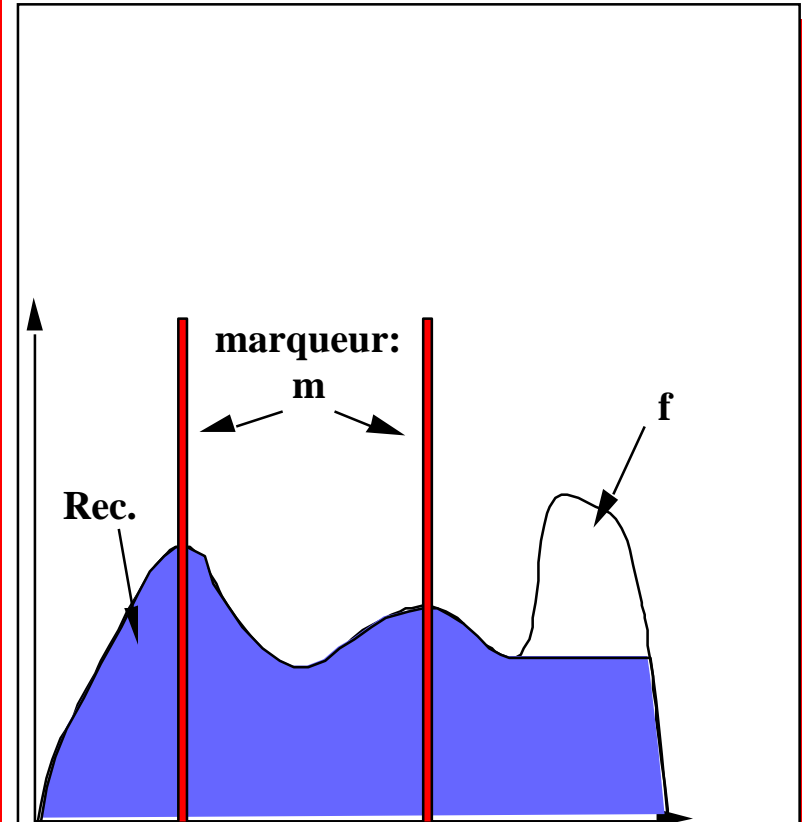
Swamping (reconstruction par marqueurs)

Objectif :

- Reconfigurer les maxima d'une fonction par ouverture connexe (par reconstruction)

Moyens :

- On utilise des **marqueurs** *i.e.* une fonction à 2 niveaux (0,m) qui identifie les pics à garder.
- Le procédé de reconstruction crée une fonction égale à l'originale dans les zones d'intérêt et élimine les extrema non marqués
- Le résultat fournit la plus grande fonction $\leq f$ et possédant des maxima aux points marqués. On le nomme le **swamping** de f par ouverture (*S.Beucher, F.Meyer*), cf. la version par fermeture in X-6.



Swamping de f par le marqueur m

Exemple de swamping: ouverture de contraste

Objectif :

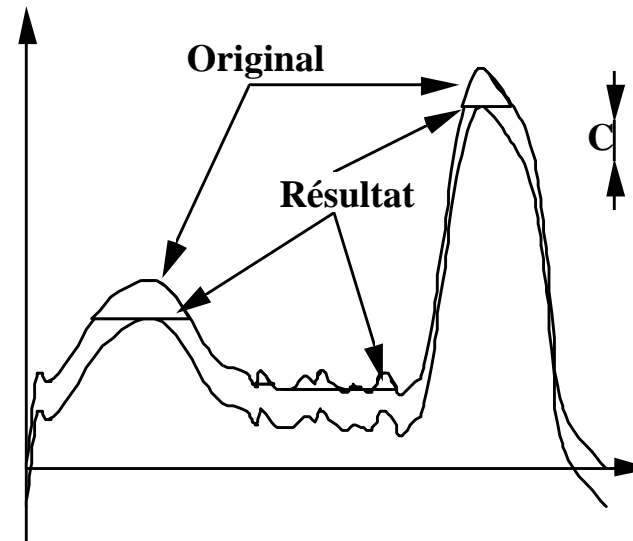
Les ouvertures morphologiques ou par érosion-reconstruction éliminent les composantes en fonction de leur structure spatiale (taille, forme). Le but du filtre de contraste est d'éliminer les composantes de **faible contraste** (*M.Grimaud*).

Moyens :

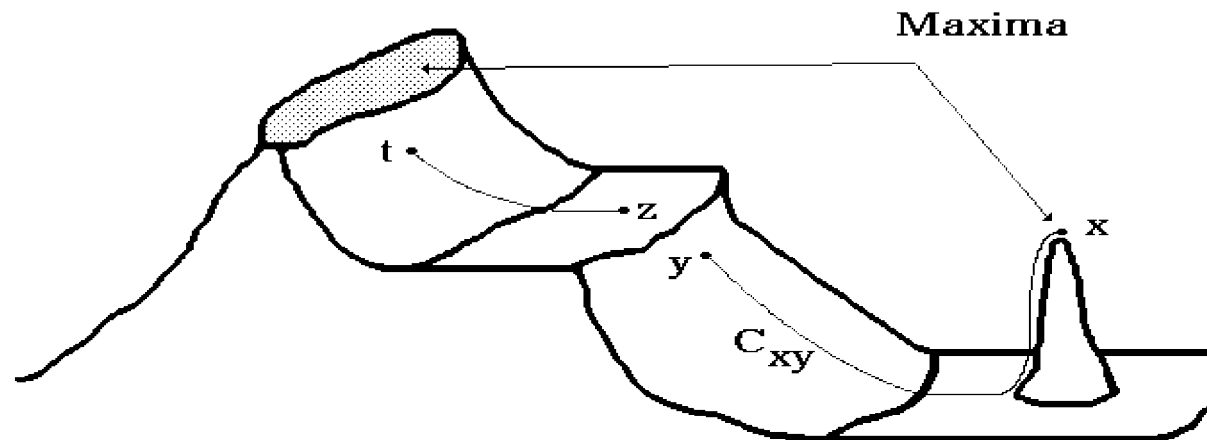
Cette transformation s'interprète au moyen d'une reconstruction où :

- la référence est le **signal original**;
- le marqueur de l'ouverture est le signal original **diminué d'une constante c**.

$$\gamma^{\text{rec}}(\mathbf{f}; \mathbf{f}-c) = \{ \delta_f^{(n)}(\mathbf{f}-c), n > 0 \}$$



Maxima et Ouverture de Contraste



- Un point x du graphe de f est sur un **maximum** quand aucun chemin qui le joint aux autres points du graphe n'est strictement ascendant. Les maxima sont des parties connexes plates entourées de points situés tous plus bas.
- Ils sont donc obtenus par résidus de **l'ouverture de contraste**, lorsque la valeur du décalage est 1.
- Plus généralement, le résidu associé au décalage c extrait les maxima entourés d'une zone descendante de hauteur δc . On les nomme **maxima étendus** (*S. Beucher*).

Filtres forts par reconstruction

Proposition (J.Serra): Soit γ^{rec} une ouverture par reconstruction sur T^E qui ne crée pas de pores, et soit ϕ^{rec} la fermeture duale pour le complément d'une ouverture de ce type (mais pas nécessairement γ^{rec}). Alors :

$$\nu = \phi^{\text{rec}} \gamma^{\text{rec}} \quad \text{et} \quad \mu = \gamma^{\text{rec}} \phi^{\text{rec}} \quad \text{sont des } \mathbf{\text{filtres forts}}.$$

[Tout pore de X , d'abord bouché par $\phi^{\text{rec}}(X)$, puis restitué par $\gamma^{\text{rec}}(X)$ devient pore de $X \cap \gamma^{\text{rec}} \phi^{\text{rec}}(X)$, et il n'y en a pas d'autres d'où $\mu(I \cap \mu) = \mu$.]

En particulier, $I \gamma^{\text{rec}} \phi^{\text{rec}}$ est une **ouverture** (appréciée pour son top-hat quand on l'étend aux fonctions numériques, cf. IV-9).

Proposition (J.Crespo, J.Serra) : Soient $\{\gamma_i^{\text{rec}}\}$ et $\{\phi_i^{\text{rec}}\}$ une granulométrie et une anti-granulométrie du type précédent, alors :

- 1) Les filtres alternés séquentiels associés N_i et M_i sont **forts**; et
- 2) Les deux opérateurs $\Psi_n = \{\phi_i \gamma_i, 1 \leq i \leq n\}$ et $\Theta_n = \{\gamma_i \phi_i, 1 \leq i \leq n\}$ sont aussi des **filtres forts**.

Semi-groupes de filtres par reconstruction

Proposition (Ph. Salembier, J.Serra): Soit γ^{rec} une ouverture par reconstruction sur E et ϕ une fermeture qui ne crée pas de composantes connexes. Alors :

$$\phi \gamma^{\text{rec}} \leq \gamma^{\text{rec}} \phi \quad (\Leftrightarrow \gamma^{\text{rec}} \phi \gamma^{\text{rec}} = \phi \gamma^{\text{rec}} \Leftrightarrow \phi \gamma^{\text{rec}} \phi = \gamma^{\text{rec}} \phi)$$

[$\phi \gamma^{\text{rec}}$ est invariant pour γ^{rec} car ϕ , extensive, ne peut qu'élargir les composantes connexes déjà existantes de $\gamma^{\text{rec}}(X)$]

Proposition (Ph. Salembier, J.Serra): Soit $\{\gamma_i^{\text{rec}}\}$ une granulométrie et $\{\phi_i\}$ une anti-granulométrie des types précédents . Alors :

1) pour tout i , les deux produits de composition $\nu_i = \phi_i \gamma_i^{\text{rec}}$ et $\mu_i = \gamma_i^{\text{rec}} \phi_i$ vérifient les relations

$$j \geq i \quad \Rightarrow \quad \nu_i \nu_j = \nu_j \quad \text{et} \quad \mu_i \mu_j = \mu_j$$

[On a toujours $j \geq i \Rightarrow \mu_j \leq \mu_i \mu_j$. De plus, ici

$$\gamma_j^{\text{rec}} \phi_j = \gamma_i^{\text{rec}} \gamma_j^{\text{rec}} \phi_j = \gamma_i^{\text{rec}} \phi_j \gamma_j^{\text{rec}} \phi_j \geq \gamma_i^{\text{rec}} \phi_i \gamma_j^{\text{rec}} \phi_j]$$

2) En conséquence, les A.S.F. associés N_i et M_i forment le **semi groupe**

$$N_j N_i = N_i N_j = N_{\text{sup}(i,j)} \quad ; \quad M_j M_i = M_i M_j = M_{\text{sup}(i,j)}$$

Exemple d'une pyramide de F.A.S connexes

*Connexion par zones plates (i.e. $\varphi = 0$).
Chaque contour est préservé ou supprimé,
mais jamais déformé : la partition initiale
croit par action des filtres successifs, qui
sont forts et forment un semi groupe*

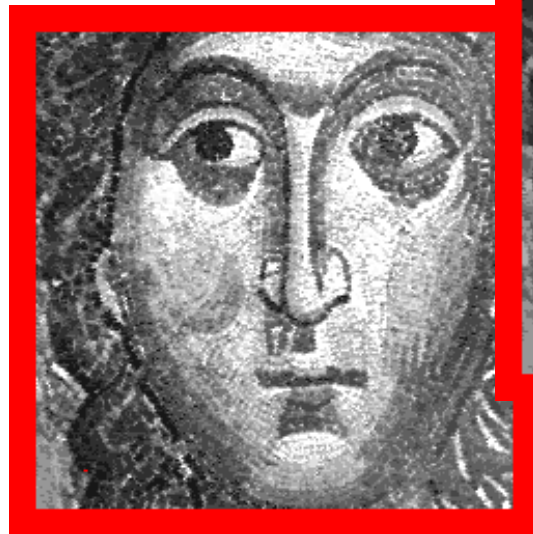


Image initiale



FAS de taille 1



FAS de taille 4



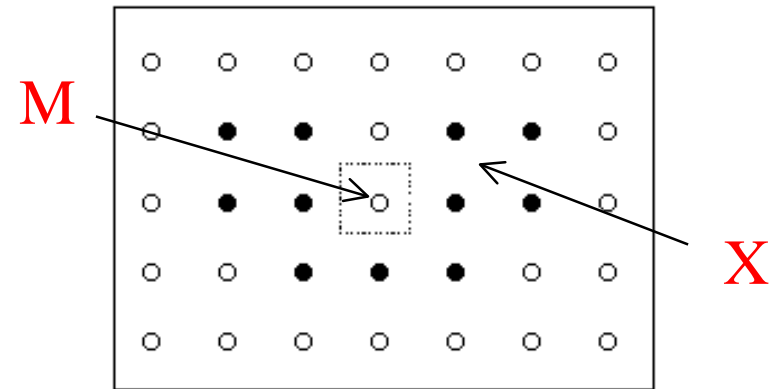
FAS de taille 8

*(éléments structurants
hexagonaux)*

Adjacence

- On dérive des ouvertures par marqueur un opérateur *auto-dual*, nommé nivellement, du à *F.Meyer*. Introduisons d'abord la notion d'adjacence :
- **Adjacence (J. Serra)**: Soit ϕ une connexion sur $\sigma(E)$. Les ensembles $X, Y \in \sigma(E)$ sont dits adjacents quand $X \sim Y$ est connexe, alors que X et Y sont disjoints.

Pour la connexion digitale définie par l'ouverture de carré 2×2 , le marqueur ponctuel M de la figure bien qu'adjacent à aucun grain de l'ensemble X , l'est à X lui-même.



- **Protection contre l'adjacence** : la connexion ϕ *protège de l'adjacence*, quand pour tout élément $M \in \sigma(E)$ et toute famille $\{B_i ; i \in I\}$ dans ϕ , il est équivalent que M ne soit adjacent à aucun des B_i ou à leur réunion $\sim B_i$.

Nivellements

- Etant donné un ensemble marqueur M , considérons $A \in \sigma(E)$ et soit
 - $\sim \gamma_M(A)$ la réunion des grains de A qui rencontrent M ou qui lui sont adjacents (disjoints de M mais dont l'union avec un grain de M est connexe)
 - $\sim \varphi_M(A)$ la réunion de A et des pores inclus dans M , et non adjacents à M^c

- **Définition (F. Meyer) :** On appelle **nivellement** λ le **supremum d'activité**

$$\lambda = \gamma_M \quad \varphi_M$$

$$i.e. \quad \lambda(A) \cap A = \gamma_M \cap A, \quad \text{et} \quad \lambda(A) \cap A^c = \varphi_M \cap A^c ;$$

λ agit sur A comme l'ouverture γ_M , et sur A^c comme la fermeture φ_M .

- **Auto-dualité:** L'application $(A, M) \Delta \lambda (A, M)$ de $\sigma(E) \times \sigma(E) \Delta \sigma(E)$ est auto-duale. Si M dépend lui-même de A , *i.e.* $M = \mu(A)$, alors le nivellement, en tant que fonction de A seulement, est auto-dual ssi μ l'est déjà.
- L'extension du nivellement aux fonctions numériques se note

$$(f, g) \Delta \Lambda (f, g)$$

Propriétés des nivellements

Voici quelques propriétés des nivellements qui justifient leur intérêt:

- **Proposition(F.Meyer):** le nivellement $(A,M)\Delta \lambda (A,M)$ est une application croissante de $\sigma(E)\times \sigma(E)\Delta\sigma(E)$ qui admet l'expression équivalente:

$$\lambda = \gamma_M \sim (\infty \ \varphi_M)$$

- **Proposition(G.Matheron):** Les deux applications

$$\sim A\Delta \lambda_M(A) , \text{ à } M \text{ fixé, et}$$

$$\sim M\Delta \lambda_A(M) , \text{ à } A \text{ fixé,}$$

sont idempotentes (et sont donc des *filtres connexes* sur $\sigma(E)$) .

- **Proposition(J.Serra):** Le nivellement $A\Delta \lambda_M(A)$ est un filtre fort, produit commutatif de ses deux primitives, *i.e.*

$$\lambda = \gamma_M \mathbf{1} \quad \varphi_M = \varphi_M \mathbf{1} \quad \gamma_M$$

ssi la connexion ϕ protège de l'adjacence ; λ vérifie alors la relation de stabilité $\gamma_x(\mathbf{I} \sim \lambda) = \gamma_x \sim \gamma_x \lambda$, préservant le sens des variations grains/pores

Exemple

Image initiale : *Joueur de fifre, de E. MANET*

Marqueurs : *filtres alternés carrés de taille 2 (non auto-dual)*



Image initiale, 83.776 pels
dont 34.835 en zones plates



Nivellement selon $\varphi \gamma$
zones plates : 53.813



Nivellement selon $\gamma \varphi$
zones plates : 53.858

Dualité pour les fonctions

- Notons 0 et m les extrema numériques (*i.e.* ceux de l'axe des gris T).
L'involution qui remplace l'opération de complément $f \rightarrow m - f$. Or il vient pour le nivellement Λ

$$m - \Lambda (m - f , m - g) = \Lambda (f , g) \quad (1)$$

ce qui signifie que l'application $f, g \rightarrow \Lambda(f, g)$ est *toujours* auto-duale.

- De plus, si g se déduit de f par une opération auto -duale, *i.e.* $g = g(f)$, avec

$$m - g (m - f) = g (f) \quad (2)$$

(*convolution, médiane*), alors le nivellement $f \rightarrow \Lambda(f, g(f))$ est auto-dual.

- On remarquera que la rel. (2) est différente de l'invariance par involution

$$g (m - f) = g (f)$$

Cette dernière, vérifiée par le module du gradient, or par les extrema étendus, par exemple, n'entraîne pas l'auto-dualité de $f \rightarrow \Lambda(f)$.

Exemple de dualité

Marqueur : *réunion des maxima et minima de dynamique 8 h*
(*invariance pour le complément*).



Image initiale
zones plates: 34.835



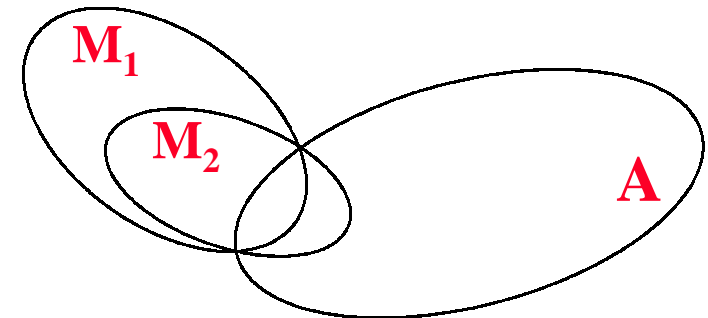
$h = 80$
zones plates : 57.445

Nivellements comme fonctions du marqueur

- Etudions l'application $M \Delta \lambda_A(M)$ quand le marqueur M varie, à A fixé. L'ensemble A génère l'ordre ϑ_A de la A -activité, sur $\sigma(E)$, par les relations

$$M_1 \vartheta_A M_2$$

Si M_1 rencontre A ou lui est adjacent, alors M_2 rencontre A ou lui est adjacent et si M_2 rencontre A^c ou lui est adjacent, alors M_1 rencontre A^c ou lui est adjacent .



- *Proposition (J. Serra):* Si $M_1 \vartheta_A M_2$ il vient

$$\lambda_{M_1} \lambda_{M_2} (A) = \lambda_{M_2} \lambda_{M_1} (A) = \lambda_{M_2}(A)$$

Cette pyramide granulométrique permet de doser l'activité des marqueurs.

Exemple de Pyramide

Marqueur (auto-dual): *image initiale, après avoir attribué zéro aux h-extrema*



Image initiale
zones plates : 34.835



Nivellement pour $h = 50$
zones plates : 58.158



Nivellement pour $h = 80$
zones plates : 59.178

Exemple de réduction de bruit

Marqueur (auto-dual) : *Convolution gaussienne de taille 5 de l'image initiale*



a) Image initiale, plus 10.000 points de bruit



b) Convolution gaussienne of a)



c) Nivellement de a) par b) zones plates : 46.900

Références

Sur la géodésie :

- Les éléments essentiels de la géodésie numérique ont été découverts par S.Beucher et F.Meyer dans les années 80, et publiés dans {BEU90} et {MEY90}. L.Vincent {VIN93}, P. Soille {SOI91} et C.Vachier {VAC95} y l'ont complétée d'importantes contributions algorithmiques.

Sur les opérateurs connexes :

- Dans {MEY90} et {SAL92}, la reconstruction est utilisée pour modifier l'homotopie d'une fonction, en multi-résolution. L'ouverture par contraste est introduite dans {GRI92}. Les pyramides d'opérateurs connexes apparaissent dans {SER93}, ils servent pour la compression et le filtrage des séquences dans {MGT96}, {SAL96}, {PAR94}, {CAS97} et {DEC97}. Les nivellements sont dus à F.Meyer {MEY98}, cf aussi {MAT97} et {SER98b}.

Sur les connexions pour les fonctions (ch. XVIII):

- La notion de connexion sur un treillis, avec application aux fonctions, est due à J.Serra {SER98a et b}.